

## ВЛИЯНИЕ РАДИАЛЬНОГО ГРАДИЕНТА ПЛОТНОСТИ НА НЕЛИНЕЙНЫЕ МАГНИТОГИДРОДИНАМИЧЕСКИЕ ЯВЛЕНИЯ ВО ВРАЩАЮЩЕЙСЯ ПЛАЗМЕ

© 2022 г. Е. П. Потанин<sup>a, b, \*</sup>

<sup>a</sup> Национальный исследовательский центр “Курчатовский институт”, Москва, Россия

<sup>b</sup> Всероссийский институт научной и технической информации РАН, Москва, Россия

\*e-mail: potanin45@yandex.ru

Поступила в редакцию 26.05.2021 г.

После доработки 20.07.2021 г.

Принята к публикации 21.08.2021 г.

Рассчитываются МГД-характеристики пограничного слоя плазмы вблизи протяженного вращающегося с постоянной угловой скоростью диэлектрического диска во внешнем осевом магнитном поле. Предполагается, что проводящая среда над диском вращается с угловой скоростью, отличной от скорости диска. Анализ выполнен в изотермическом приближении с учетом существенного радиального перераспределения плотности газа в пренебрежении холловскими эффектами. Расчет выполнен методом Слезкина–Тарга с помощью автомодельного преобразования при степенном изменении плотности среды с радиальной координатой. Исследована зависимость толщины пограничного слоя  $\xi_1$  и параметра радиального потока  $A$  от отношения угловых скоростей вращения среды  $m$  и степени сжатия  $p$ . Показано, что рост радиального градиента плотности должен приводить к заметному возрастанию момента сил азимутального трения в пограничном слое. Исследована зависимость осевого подсоса к диску от величины внешнего магнитного поля.

*Ключевые слова:* МГД-пограничный слой, вращающаяся плазма, диэлектрический диск, магнитное поле, вязкое трение, градиент плотности, сжимаемость среды

**DOI:** 10.31857/S0367292122010127

### 1. ВВЕДЕНИЕ

Интерес к изучению вращающихся газовых сред и плазмы в различных областях науки и технологии постоянно растет. Это связано с разработкой термоядерных реакторов [1, 2], астрофизическими проблемами устойчивости аккреционных дисков [3–5], задачами переработки отработавшего ядерного топлива в плазме [6–8], преобразования тепловой энергии в электрическую [9], усовершенствованием газовой центрифуги [10–12]. Важное значение уделяется также разработке плазменных центрифуг, предназначенных для разделения изотопов элементов, не имеющих удобных газообразных соединений при комнатных температурах [13–15].

При изучении газодинамических процессов во вращающихся потоках необходимо исследовать взаимодействие среды с ограничивающими поверхностями. В настоящей работе рассмотрим вращение плазмы вблизи вращающегося диэлектрического диска при наличии внешнего вращательного потока. Как правило, такие задачи исследуются в предположении постоянства плотно-

сти среды вдоль радиальной координаты [16]. В настоящей работе предпринята попытка учесть радиальный градиент плотности, связанный с центробежными силами при наличии ограничивающей цилиндрической поверхности.

### 2. ЛАМИНАРНЫЙ ПОГРАНИЧНЫЙ СЛОЙ СЖИМАЕМОГО СЛАБОИОНИЗОВАННОГО ГАЗА ВБЛИЗИ ПРОТЯЖЕННОГО ВРАЩАЮЩЕГОСЯ ДИЭЛЕКТРИЧЕСКОГО ДИСКА

Рассмотрим вращающийся с постоянной угловой скоростью  $\omega_1$  столб газа, ограниченный по радиусу вращающейся стенкой. Отвлечемся от причин возбуждения вращения среды. Это могут быть как различного рода электромагнитные силы (плазменная центрифуга), так и вязкие силы, связанные с действием вращающейся боковой стенки (обычная механическая центрифуга). Существенным моментом в этом случае является зависимость давления газа  $P$  от радиальной координаты  $r$ . Во вращающемся с угловой скоростью  $\omega_1$

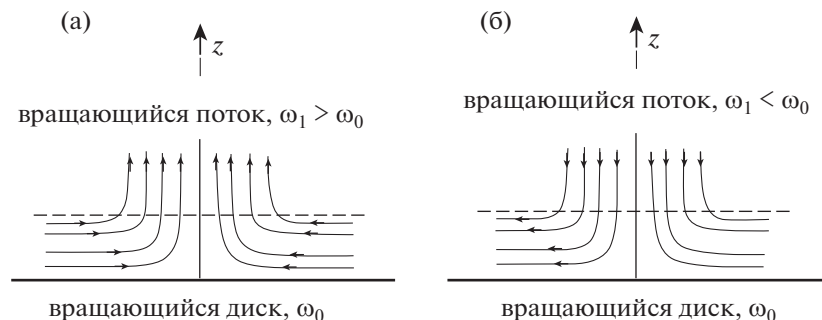


Рис. 1. Линии тока при различных соотношениях угловых скоростей внешнего потока и диска.

столбе газа в равновесном состоянии возникает уравновешивающий центробежную силу радиальный градиент давления

$$\frac{dP}{dr} = \rho_1 \omega_1^2 r, \quad (1)$$

где  $\rho_1$  — массовая плотность среды в столбе. Будем считать, что имеется нижний торцевой диск, который вращается с угловой скоростью  $\omega_0$ , отличной от скорости вращения основного потока  $\omega_1$ . Различие скоростей приводит при достаточно быстром вращении к возникновению вблизи поверхности торца тонкого пограничного слоя, в котором угловая скорость среды изменяется от  $\omega_1$  во внешнем потоке до  $\omega_0$  на торцевом диске. В силу того, что градиент давления (1) постоянен по толщине пограничного слоя, а центробежная сила изменяется с осевой координатой, равновесие, имеющее место для основного потока, в пограничном слое нарушается, и возникает вторичное течение. Оно носит характер наложенных на основной азимутальный поток радиального и осевого движений газа. Для характеристики соотношения между угловыми скоростями  $\omega_1$  и  $\omega_0$  введем параметр  $m = \omega_1/\omega_0$ . В зависимости от величины  $m$  направление радиального потока и связанное с ним осевое движение среды изменяют знак. Торцевые элементы, таким образом, определяют направление и интенсивность вторичного циркуляционного течения, налагающегося на одномерный вращательный поток. Если диск вращается медленнее внешнего потока ( $m > 1$ ), вследствие действия вязких сил азимутальная скорость газа вблизи диска меньше, чем во внешнем потоке, градиент давления превышает центробежную силу, и радиальное течение вблизи диска направлено к оси. В силу неразрывности потока имеет место отток газа от диска. Если диск вращается быстрее внешнего потока ( $m < 1$ ), возникает обратная ситуация и радиальное течение в пограничном слое направлено к периферии, а осевой поток имеет характер подсоса

к диску. На рис. 1 показаны линии тока для случаев  $m > 1$  (рис. 1а) и  $m < 1$  (рис. 1б).

Если среда является проводящим газом и имеется осевое магнитное поле, динамика приторцевых течений усложняется. Помимо вязких сил и инерционных эффектов, важную роль начинают оказывать электромагнитные силы, связанные с протеканием электрического тока. На рис. 2а показана качественная картина распределения угловых скоростей ламинарного газового потока в пограничном слое вблизи протяженного диэлектрического диска. Введем цилиндрическую систему координат  $r, \varphi, z$ , плоскость  $z = 0$  которой совпадает с поверхностью диска (рис. 2а). Внешнее однородное магнитное поле  $\mathbf{B}$  направим вдоль оси вращения. Если, например, радиальное течение в пограничном слое направлено к оси, как показано на рис. 1б, то в силу взаимодействия азимутального тока  $j_\varphi$  с внешним магнитным полем  $B_z$  возникает объемная электромагнитная сила Ампера  $F_r = j_\varphi B_z$ , которая тормозит радиальный поток и, в силу неразрывности потока, осевой перенос плазмы. Рассмотрим случай слабоионизованной плазмы.

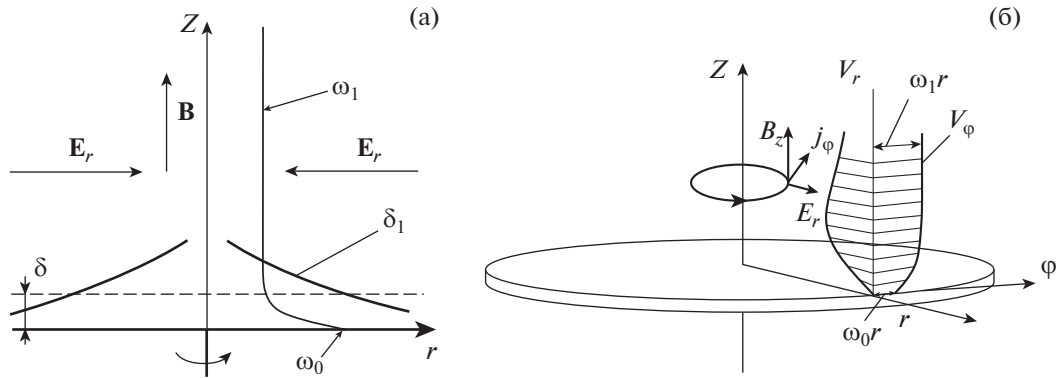
В рамках стационарного магнитогидродинамического изотермического приближения в пределе малых магнитных чисел Рейнольдса, когда можно пренебречь влиянием индуцированных магнитных полей и влиянием сжимаемости на вязкость, стационарные уравнения магнитной гидродинамики запишутся в виде [17]

$$\rho(\nabla\nabla)\mathbf{V} = -\nabla P + \eta\nabla^2\mathbf{V} + \mathbf{j} \times \mathbf{B}, \quad (2)$$

$$\nabla \cdot \rho\mathbf{V} = 0, \quad (3)$$

$$\nabla\mathbf{j} = 0, \quad (4)$$

где  $\mathbf{V}$  — скорость среды,  $\mathbf{j}$  — плотность электрического тока,  $\nabla$  — векторный оператор набла,  $\eta$  — коэффициент динамической вязкости среды,  $\rho(r)$  — ее массовая плотность.



**Рис. 2.** Схема потока: а) пространственное распределение угловых скоростей вращения плазмы и толщины пограничного слоя при  $\omega_0 > \omega_1$ ; б) осевые профили азимутальной и радиальной компонент скорости плазмы вблизи диска при  $\omega_0 < \omega_1$ .

Для вектора плотности электрического тока используем закон Ома в пренебрежении холловскими явлениями

$$\mathbf{j} = \sigma[\mathbf{E} + \mathbf{V} \times \mathbf{B}], \quad (5)$$

где  $\sigma$  – проводимость плазмы,  $\mathbf{E}$  – напряженность электрического поля. Выражение (5) справедливо при выполнении условия  $\beta_e \ll 1$ , где  $\beta_e$  – параметр замагниченности электронов. В заключение мы оценим справедливость этого допущения. В рамках предположения о слабой ионизации среды данная модель соответствует обычному газу, на который дополнительно действуют силы Ампера.

В осесимметричном приближении справедливы следующие из (5) уравнения для компонент плотности электрического тока в пограничном слое

$$j_\phi = -\sigma v_r B_z, \quad (6)$$

$$j_r = \sigma(E_r + v_\phi B_z), \quad (7)$$

где  $v_r$  и  $v_\phi$  – радиальная и азимутальная компоненты скорости,  $E_r$  – радиальная компонента электрического поля. Очевидно, что азимутальные токи замыкаются в силу геометрической конфигурации и  $E_\phi = 0$  (см. уравнение (6)).

Предполагая, что внешняя цепь в основном потоке разомкнута, из условия отсутствия радиального тока ( $j_r = 0$ ) получим выражение для радиального электрического поля в пограничном слое

$$E_r^1 = -\omega_1 r B_z \quad (8)$$

Отметим, что электрическое поле  $E_r^1$  не является внешним, а связано с разделением зарядов в основном объеме плазмы при ее вращении поперек магнитного поля. Это поле подобно генери-

руемому в плазме гидромагнитного конденсатора [18]. Предположим, следуя [19], что поле  $E_r$  в области пограничного слоя на диэлектрическом диске не изменяется с координатой и совпадает с полем  $E_r^1$ . При этом плотность радиального тока в пограничном слое не равна нулю, а изменяется в соответствии с (7) и зависимостью  $v_\phi(z)$ . Выполнение неразрывности тока связано с его замыканием через внешнюю цепь [19].

Используя (1), (6)–(8), запишем уравнения пограничного слоя для безграничного диска в проекции на оси  $r$  и  $\phi$  для сжимаемого проводящего газа

$$\begin{aligned} \rho \left( v_r \frac{\partial v_r}{\partial r} + v_z \frac{\partial v_r}{\partial z} - \frac{v_\phi^2}{r} \right) = \\ = -\rho \omega_1^2 r + \eta \frac{\partial^2 v_r}{\partial z^2} - \sigma B^2 v_r, \end{aligned} \quad (9)$$

$$\begin{aligned} \rho \left( v_r \frac{\partial v_\phi}{\partial r} + v_z \frac{\partial v_\phi}{\partial z} + \frac{v_r v_\phi}{r} \right) = \\ = \eta \frac{\partial^2 v_\phi}{\partial z^2} - \sigma B^2 (v_\phi - \omega_1 r), \end{aligned} \quad (10)$$

$$\frac{\partial}{\partial r}(\rho r v_r) + \frac{\partial}{\partial z}(\rho r v_z) = 0, \quad (11)$$

где  $v_z$  – осевая компонента скорости. Поскольку уравнения (9), (10) записаны без учета влияния сжимаемости на вязкие силы в дальнейшем ограничимся случаем умеренных градиентов плотности.

Система (9)–(11) не содержит уравнения движения в проекции на ось  $z$ , так как последнее служит лишь для определения зависимости давления от осевой координаты [16, 20].

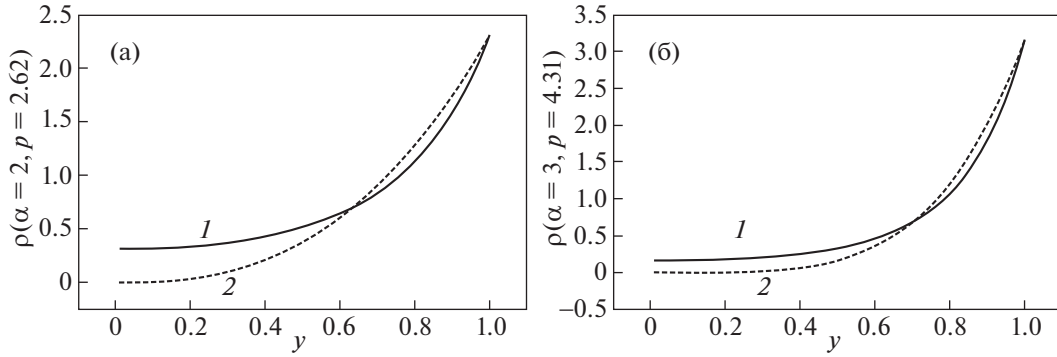


Рис. 3. Сравнение реального и модельного радиальных распределений плотности в случае различных параметров сжимаемости. 1 – экспоненциальное распределение (12), 2 – модельное степенное распределение (13).

В случае независимости плотности от радиуса ( $\rho(r) = \text{const}$ ) нелинейные уравнения пограничного слоя допускают известное автомодельное решение, в котором толщина пограничного слоя не зависит от радиальной координаты [21, 22] (рис. 2а). В случае  $\rho(r) \neq \text{const}$  задача усложняется.

В общем случае скоростей вращения газа, сравнимых со скоростью звука, имеет место перераспределение плотности по радиусу, определяемое в случае совершенного газа как

$$\rho = \rho^* \exp(\alpha y^2), \quad (12)$$

где  $\rho^*$  – плотность на оси,  $\alpha = \frac{\mu \omega_1^2 R^2}{2 \Re T}$  – параметр

сжимаемости,  $\mu$  – молекулярный вес,  $y = \frac{r}{R}$ ,  $\Re$  – универсальная газовая постоянная,  $T$  – абсолютная температура. В этом случае автомодельное решение МГД-уравнений отсутствует. Предпримем попытку найти решение задачи, максимально приближенное к действительности. Для этого аппроксимируем реальное распределение плотности степенной функцией

$$\rho(r) = \rho_0 \left( \frac{r}{r_0} \right)^p, \quad (13)$$

где  $r_0 = \sqrt{\eta/\rho_0 \omega_0}$ ;  $\rho_0$  – постоянная;  $p$  – параметр, характеризующий радиальный градиент плотности. Найдем приближенное соотношение между  $\alpha$  и  $p$  из условия равенства плотностей  $\rho_1$  на боковой стенке при  $r = R$  в случае обоих распределений.

Введем плотность заполнения  $\langle \rho \rangle$ , определяемую из условия

$$\pi R^2 L \langle \rho \rangle = 2\pi L \int_0^R \rho(r) r dr, \quad (14)$$

где  $L$  – высота столба газа.

Тогда из реального распределения (12) имеем

$$\rho_1' = \langle \rho \rangle \frac{\alpha \exp \alpha}{\exp \alpha - 1} \quad (15)$$

Аналогично из модельного распределения (13) получим

$$\rho_1'' = \langle \rho \rangle \frac{2+p}{2} \quad (16)$$

Приравняв плотности из (15) и (16), найдем

$$\frac{\alpha \exp \alpha}{\exp \alpha - 1} = \frac{2+p}{2} \quad (17)$$

Связь между  $\alpha$  и  $p$  позволяет, например, определить, что при  $\alpha = 2$  параметр  $p = 2.62$ , а при  $\alpha = 3$  величина  $p = 4.31$ . На рис. 3а и 3б приведены зависимости плотности от безразмерного радиуса  $y$  для этих двух случаев соответственно. Отметим, что наибольшее расхождение точных и модельных кривых распределения плотности имеет место при малых радиусах, которые, как показано ниже, вносят наименьший вклад в раскручивающее или тормозящее воздействие диска в силу заметной зависимости от  $r$  момента вязких сил.

Предположим, что проводимость плазмы изменяется с радиальной координатой по следующему закону

$$\sigma = \sigma_0 \left( \frac{r}{r_0} \right)^p \quad (18)$$

В этом случае возможно получение автомодельного решения системы (9)–(11). В конце статьи мы обсудим влияние возможных отклонений от зависимости (18) для реальной газоразрядной плазмы.

Введем следующие преобразования

$$\begin{aligned} v_\phi &= \omega_0 r g(\xi), & v_r &= \omega_0 r f(\xi), \\ v_z &= \omega_0 r_0 \left(\frac{r_0}{r}\right)^{\frac{p}{2}} w(\xi), & \xi &= \frac{z}{r_0} \left(\frac{r}{r_0}\right)^{\frac{p}{2}}, \end{aligned} \quad (19)$$

которые сводят систему дифференциальных уравнений в частных производных к системе обыкновенных уравнений

$$f^2 + wf' + \frac{p}{2} \xi ff' - g^2 + m^2 = f'' - Sf, \quad (20)$$

$$2fg + wg' + \frac{p}{2} \xi fg' = g'' - S(g - m), \quad (21)$$

$$(2 + p)f + w' + \frac{p}{2} \xi f' = 0, \quad (22)$$

где  $S = \sigma_0 B^2 / \rho_0 \omega_0$  — магнитный параметр, а штрих означает дифференцирование по переменной  $\xi$ . Следует отметить, что аналитическое решение данной системы уравнений отсутствует даже при  $p = 0$  и  $S = 0$ . Поэтому в целях демонстрации метода найдем решение системы в приближении Слезкина—Тарга [23]. Усредним левые части в уравнениях (20), (21) по толщине пограничного слоя с учетом уравнения неразрывности (22), а также граничных условий для радиальной и азимутальной компонент скорости

$$\begin{aligned} f(0) &= 0, & f(\xi_1) &= 0, \\ g(0) &= 1, & g(\xi_1) &= m, & g'(\xi_1) &= 0, \end{aligned} \quad (23)$$

где  $\xi_1 = \frac{\delta_1}{r_0} \left(\frac{r}{r_0}\right)^{\frac{p}{2}}$ ,  $\delta_1$  — зависящая от радиальной координаты размерная толщина пограничного слоя. Используя (20), (21), получим

$$A = \frac{1}{\xi_1} \int_0^{\xi_1} \left( f^2 + wf' + \frac{p}{2} \xi ff' - g^2 + Sg \right) d\xi + m^2, \quad (24)$$

$$B = \frac{1}{\xi_1} \int_0^{\xi_1} \left( 2fg + wg' + \frac{p}{2} \xi fg' + Sg \right) d\xi - Sm, \quad (25)$$

$$A = f'', \quad (26)$$

$$B = g'' \quad (27)$$

Интегрируя (26), (27) с учетом граничных условий (23), получим

$$g(\xi) = 1 + (1 - m) \left( \frac{\xi^2}{\xi_1^2} - 2 \frac{\xi}{\xi_1} \right), \quad (28)$$

$$f(\xi) = \frac{A}{2} (\xi^2 - \xi \xi_1), \quad (29)$$

$$w(\xi) = \frac{(2 + p)A}{12} \left( 3\xi^2 - 2 \frac{\xi^3}{\xi_1} \right). \quad (30)$$

При этом (24), (25) сводятся к соотношениям

$$A = \int_0^1 \left[ \left( \frac{p}{2} + 3 \right) f^2 - g^2 + m^2 + Sf \right] dZ, \quad (31)$$

$$2 \frac{(1 - m)}{\xi_1^2} = \quad (32)$$

$$= \int_0^1 \left[ \left( \frac{p}{2} + 4 \right) gf - m \left( \frac{p}{2} + 2 \right) f + Sg - Sm \right] dZ,$$

где  $Z = \xi / \xi_1$ .

Отметим, что в отличие от случая пренебрежения зависимостью плотности среды от радиальной координаты ( $\delta_1 = \text{const}$ ), когда толщина пограничного слоя не зависит от  $r$  (рис. 2), пунктирная кривая), в рассматриваемом случае  $\delta_1 \approx \gamma r^{-p/2}$ , где  $\gamma$  — постоянная, подлежащая определению. На рис. 2а сплошной линией качественно проиллюстрирована зависимость толщины пограничного слоя от радиуса  $\delta_1(r)$ .

Интегрируя (31), (32) с учетом (28), (29) найдем

$$\begin{aligned} 2 \frac{(1 - m)}{\xi_1^2} &= \frac{A \xi_1^2}{12} \left[ m \left( \frac{p}{2} + 2 \right) - \frac{1}{10} (3 + 7m) \left( \frac{p}{2} + 4 \right) \right] - \\ &- Sm + \frac{S}{3} (1 + 2m), \end{aligned} \quad (33)$$

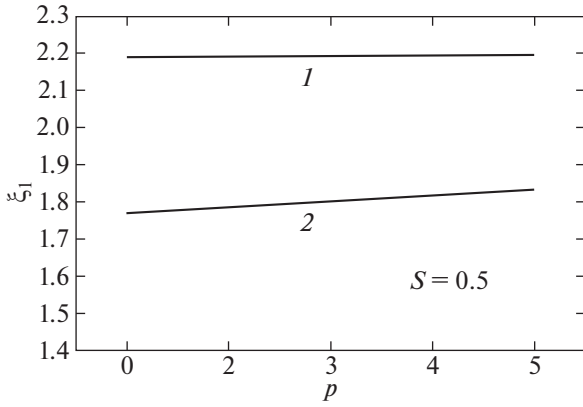
$$A = \frac{A^2 \xi_1^4}{120} \left( \frac{p}{2} + 3 \right) - \frac{1}{5} - \frac{4}{15} m + \frac{7}{15} m^2 - S \frac{A \xi_1^2}{12}. \quad (34)$$

При  $S = 0$  решение системы (33), (34) совпадает с известными решениями, полученными методом Слезкина—Тарга в работах [21–23].

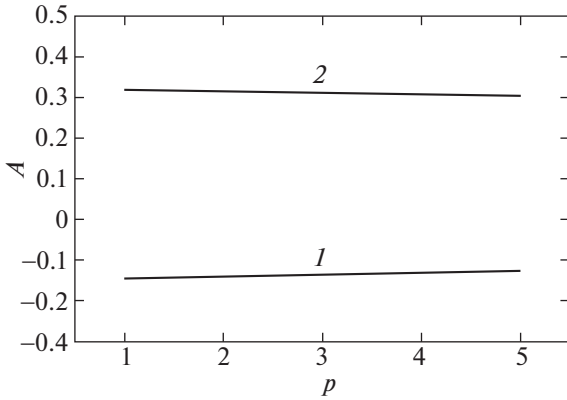
На рис. 4 и 5 приведены зависимости безразмерной толщины пограничного слоя  $\xi_1$  на вращающемся диске и величины  $A$ , характеризующей интенсивность радиального потока в пограничном слое, от параметра  $p$  в случае  $S = 0.5$  для значений  $m$  меньших и больших 1. Обращает на себя тот факт, что толщина пограничного слоя больше при меньших значениях параметра  $m$ . Это явление обусловлено несимметричным действием нелинейных инерционных членов в уравнении движения в проекции на ось  $r$ . При  $m < 1$  осевой поток направлен к диску, а при  $m > 1$  — в противоположном направлении.

Вычислим модуль момента сил сопротивления, действующих на одну сторону диска с радиусом  $R$ . Отметим, что величина момента изменяет знак в зависимости от того, вращается среда быстрее или медленнее диска

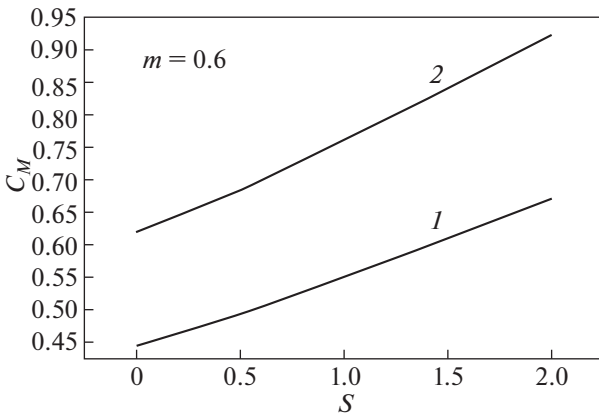
$$M = 2\pi\eta \int_0^R r^2 \left| \frac{\partial v_\phi}{\partial z} \right|_{z=0} dr. \quad (35)$$



**Рис. 4.** Зависимость толщины пограничного слоя  $\xi_1$  от параметра  $p$  для  $S = 0.5$  и различных значений  $m$ :  $1 - m = 0.6, 2 - m = 1.4$ .



**Рис. 5.** Зависимость величины  $A$  от параметра  $p$  для  $S = 0.5$  и различных  $m$ :  $1 - m = 0.6, 2 - m = 1.4$ .



**Рис. 6.** Зависимость коэффициента момента сил сопротивления от магнитного параметра  $S$  для  $m = 0.6$  при различных значениях параметра  $p$ :  $1 - p = 1, 2 - p = 3$ .

Так как толщина пограничного слоя падает с уменьшением радиуса диска  $R$ , осевой градиент азимутальной скорости увеличивается с возрастанием  $R$  и, следовательно, момент сил трения при  $p$ , отличном от нуля, должен возрастать быстрее, чем  $R^4$ . Используя (29) и (35), в общем случае получим

$$M = \frac{8\pi\eta R^{4+p} \omega_0 r_0 (1-m)}{\xi_1 r_0^{p/2} (8+p)}. \quad (36)$$

Коэффициент сопротивления определим как

$$C_M = \frac{2M}{\pi \langle \rho \rangle R^4 \langle v \rangle \omega_0^3}^{1/2}, \quad (37)$$

где  $\langle v \rangle = \eta / \langle \rho \rangle$ .

Используя (36), (37), получим

$$C_M = \frac{8(1-m)(2+p)}{(8+p)\xi_1}. \quad (38)$$

На рис. 6 приведена зависимость величины  $C_M$  от параметра  $p$ .

Как видно из результатов расчета, увеличение радиального градиента плотности приводит к заметному возрастанию азимутальных сил трения в пограничном слое.

Предполагая осевую симметрию течения для потока подсоса к нижнему диску  $Q_0 = \int_0^R \rho v_z 2\pi r dr$ , имеем

$$Q_0 = \frac{A \xi_1^3 \rho_0^4 \pi R^2 \omega_0^4 (p+2)}{6(p+4)\eta^4}. \quad (39)$$

Введем безразмерный осевой поток

$$q = \frac{Q}{\langle \rho \rangle \sqrt{\langle v \rangle} \omega_0 \pi R^2}. \quad (40)$$

На рис. 7 приведены результаты расчета безразмерного осевого потока плазмы в зависимости от параметра  $m$  при  $p = 2$  и  $S = 0$ . При  $m > 1$  поток положителен, так как имеет место отток плазмы от поверхности диска. При  $m < 1$  наблюдается приток, вызванный радиальным переносом к периферии вследствие преобладания центробежной силы над радиальным градиентом давления.

На рис. 8 представлена зависимость осевого потока от магнитного поля при различных значениях параметра  $p$  в условиях преобладания центробежных сил над градиентом давления ( $m < 1, q < 0$ ). Замедление вторичного течения связано с действием электромагнитной силы Ампера при радиальном течении плазмы поперек осевого магнитного поля. С увеличением радиального градиента плотности скорость циркуляции

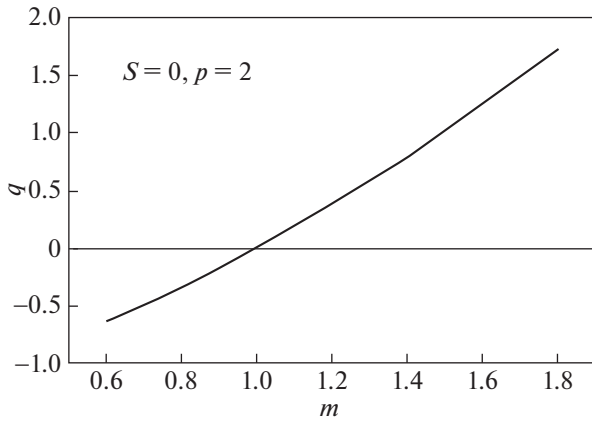


Рис. 7. Зависимость осевого потока от параметра  $m$  для  $S = 0, p = 2$ .

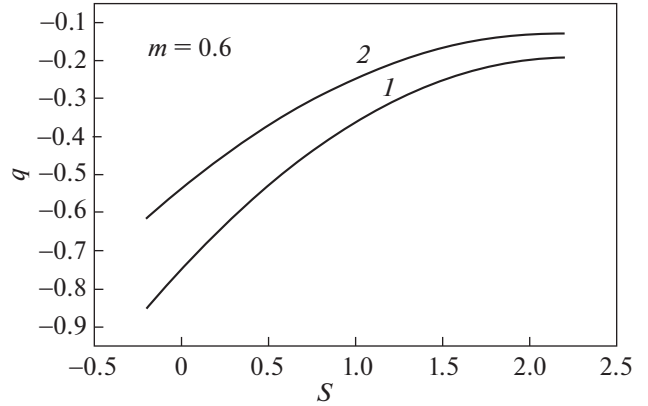


Рис. 8. Зависимость осевого подсоса плазмы к вращающемуся диску для различных параметров сжимаемости: 1 –  $p = 1$ , 2 –  $p = 3$ .

уменьшается, что связано с возрастанием радиальных вязких сил в пограничном слое. Оценим величину осевого подсоса к вращающемуся диску для ксенонной слабоионизованной плазмы при следующих параметрах:  $m = 0.6, S = 0.5, p = 2$ . Положим среднюю массовую плотность  $\langle \rho \rangle = 0.2 \text{ кг/м}^3$ , температуру нейтралов  $T_n = 1000 \text{ К}$ , радиус  $R = 0.5 \text{ м}$ . Учитывая, что при этих параметрах расчетные величины равны  $\xi_1 = 2.141, A = -0.145, |q| = 0.448$ , получим для потока  $Q = 5 \times 10^{-2} \text{ кг/с}$ .

Оценим справедливость при данных условиях однокомпонентного гидродинамического приближения в случае плазмы Хе. Полагая электронную температуру  $T_e = 5 \text{ эВ}$ , степень ионизации 1% и принимая, согласно [24] эффективное поперечное сечение упругого рассеяния электронов на нейтральных частицах  $\sigma_{en} \approx 3 \times 10^{-19} \text{ м}^2$ , кулоновское сечение электрон-ионного взаимодействия  $\sigma_{ei} \approx 3 \times 10^{-18} \text{ м}^2$ , магнитную индукцию внешнего поля  $B = 0.1 \text{ Тл}$ , получим для параметра замагниченности электронов  $\beta_e \approx 3 \times 10^{-2}$ .

Отметим, что при больших магнитных полях интенсивность вторичных МГД-потоков во внешнем осевом магнитном поле существенно уменьшается и можно пренебречь в уравнениях движения нелинейными инерционными силами, зависящими от радиальной скорости [25]. Решение задачи в случае больших  $S$  при граничных условиях

$$f(0) = 0, \quad f(\infty) = 0, \quad g(0) = 1, \quad g(\infty) = m \quad (41)$$

имеет вид

$$f(\xi) = \frac{(1-m)^2}{3S} [\exp(-\sqrt{S}\xi) - \exp(-2\sqrt{S}\xi)] + \frac{m(1-m)}{\sqrt{S}} \xi \exp(-\sqrt{S}\xi), \quad (42)$$

$$g(\xi) = m + (1-m) \exp(-\sqrt{S}\xi). \quad (43)$$

Уменьшение скорости радиального потока с возрастанием магнитного поля связано с эффектом Гартмана, приводящим к изменению профилей электромагнитных сил в пограничном слое.

Сравним производную  $\frac{dg}{d\xi}(0)$ , которая характеризует силу вязкого трения на поверхности диска при  $S = 8$  и  $m = 0.6$  в случае точного и приближенного решений. Из (43) получим  $\frac{dg}{d\xi}(0) = 1.13$ . Результат расчета с учетом приближенной формулы (29) дает  $\frac{dg}{d\xi}(0) = 0.93$ .

Отметим, что справедливость соотношения для зависимости проводимости реальной газоразрядной плазмы от радиальной и осевой координат (13), без использования которой нельзя получить автомодельное решение, требует более серьезного рассмотрения. Представляется, что отклонение от зависимости (18) в сторону уменьшения показателя степени в реальной газоразрядной плазме приведет к некоторому увеличению радиального течения в пограничном слое в силу уменьшения момента эффективной тормозящей электромагнитной силы  $F_r = j_\phi B_z = \sigma_v B_z^2$  при больших  $r$ , но слабо повлияет на полный момент сил вязкого трения на диске, поскольку последний пропорционален  $r^{4+p/2}$ .

## ЗАКЛЮЧЕНИЕ

На основе автомодельного преобразования и метода Слезкина–Тарга в рамках уравнений магнитной гидродинамики выполнен расчет пограничного слоя сжимаемого плазменного потока над вращающимся с угловой скоростью диэлектрическим диском при наличии внешнего квазитвердого потока и осевого магнитного поля. Определена зависимость сил сопротивления, действующих на протяженный диск, от значений параметра сжимаемости  $p$ , отношения угловых скоростей внешнего потока  $m = \omega_1/\omega_0$  и магнитного параметра  $S$ . Показано, что увеличение радиального сжатия плазмы приводит к возрастанию действующего на диск момента сил сопротивления вязкого потока. Как следует из результатов расчета, увеличение магнитного поля приводит к замедлению радиального течения вблизи диска независимо от соотношения между  $\omega_1$  и  $\omega_0$ . С точки зрения применимости используемой при получении автомодельного решения степенной зависимости проводимости от радиальной координаты отметим, что отклонение от нее в сторону уменьшения показателя степени в реальной газоразрядной плазме приведет к некоторому увеличению радиального течения в пограничном слое в силу уменьшения момента эффективной тормозящей электромагнитной силы при больших  $r$ , но слабо повлияет на полный момент сил вязкого трения на диске.

## СПИСОК ЛИТЕРАТУРЫ

1. *Pustovitov V.D.* // Plasma Physics Reports. 2003. V. 29. P. 105.
2. *Ляхин В.П., Сорокина Е.А., Ильгисонис В.И., Коновальцева Л.В.* // Физика плазмы. 2015. Т. 41. № 12. С. 1054–1061
3. *Balbus S.A., Hawley J.F.* // Rev. of Mod. Phys. 1998. V. 70. № 1. P. 1–53.
4. *Михайловский А.Б., Ломинадзе Дж.Г., Чуриков А.П., Пустовитов В.Д.* // Физика плазмы. 2009. Т. 35. № 4. С. 307.
5. *Khalzov I.V., Smolyakov A.I., Ilgisonis V.I.* Energy of eigenmodes in magnetohydrodynamic flows of ideal fluids // Physics of Plasmas. 2008. V. 15. 054501.
6. *Vorona N.A., Gavrikov A.V., Kuzmichev S.D., Lizia-kin G.D., Melnikov A.D., Murzaev Y.A., Smirnov V.P., Timirkhanov R.A., Usmanov R.A.* // IEEE Transactions on Plasma Science. 2019. V. 47. № 2. P. 1223.
7. *Rax J.-M., Gueroult R.* // J. Plasma Phys. 2016. V. 82. 595820504.
8. *Gorshunov N.M., Potanin E.P.* // Plasma Physics Reports. 2020. V. 46. № 2. С. 147.
9. *Тимофеев А.В.* // Физика плазмы. 2020. Т. 46. № 6. С. 564.
10. *Villani S., (Ed.) Uranium Enrichment:* Springer, 1979.
11. *Bogovalov S.V., Borman V.D., Borisevich V.D., Tro- nin V.N.* // Numerical Methods for Heat & Fluid Flow. 2017. V. 27. Issue 7. P. 1387.
12. *Потанин Е.П., Соснин Л.Ю., Чельцов А.Н.* // Атомная энергия. 2019. Т. 127. Вып. 3. С. 140.
13. *Gueroult R., Zweben S.J., Fisch N.J., Rax J.-M.* // Phys. Plasmas. 2019. 26. 043511. 10.1063.
14. *Borisevich V.D., Potanin E.P., Whichello J.V.* // Trans. Plasma Science. 2020. V. 48. № 10. P. 3472.
15. *Fetterman A.J., Fisch, N.J.* // Plasma Sources Sci. Technol. 2009. 18. 045003.
16. *Borisevich V.D., Potanin E.P., Whichello J.V.* // J. Fluid Mech. 2017. V. 829. P. 328.
17. *Куликовский А.Г., Любимов Г.А.* Магнитная гидродинамика. М.: ГИФМЛ. 1962. 246 с.
18. *Baker W.R., Bratenahl A., DeSilva A.W., Kunkel W.B.* // Proceedings of the Fourth International Conference held (1959) August 17–21, at the Institute of Physics in Uppsala, Sweden. Edited by N. Robert Nilsson. Published by North-Holland.
19. *King W.S., Lewellen W.S.* // Phys. Fluids. 1964. V. 7. № 10. P. 1674.
20. *Dorfman L.A.* Hydrodynamic resistance and heat loss of rotating solids, Edinburgh, Oliver & Boyd. 1963.
21. *Потанин Е.П.* // Изв. РАН. Механика жидкости и газа. 2013. № 1. С. 78.
22. *Горбачев Л.П., Потанин Е.П.* // Магнитная гидродинамика. 1969. № 2. С. 93.
23. *Тарг С.М.* Основные задачи теории ламинарных течений. М., Л.; Гостехиздат, 1951. 420 с.
24. Таблицы физических величин. Справочник / Под ред. акад. И.К. Кикоина. М.: Атомиздат, 1976. 1008 с.
25. *Горбачев Л.П., Потанин Е.П.* // Магнитная гидродинамика. 1968. № 2. С. 152.